



بیستمین کنفرانس اپتیک و فوتونیک ایران
و ششمین کنفرانس مهندسی و فناوری فوتونیک ایران
۸ تا ۱۰ بهمن ماه ۱۳۹۲ - دانشگاه صنعتی شیراز



اندازه گیری گذارهای کوانتومی بلورمگنتو فوتونی یک بعدی با ساختار $(\text{TiO}_2/\text{SiO}_2)^6/\text{Bi}:\text{YIG}/(\text{TiO}_2/\text{SiO}_2)^6$ به روش دورنگی دایروی مغناطیسی

مسعود حیدری^۱، سیده مهری حمیدی^۱ و محمدمهدی طهرانچی^{۱،۲}

^۱ پژوهشکده لیزر پلاسما، دانشگاه شهید بهشتی، تهران، ایران.

^۲ گروه فیزیک، دانشگاه شهید بهشتی، تهران، ایران.

چکیده- از اندازه‌گیری طیف‌سنجی دورنگی دایروی مغناطیسی در مواد زیستی و جامدات مغناطیسی استفاده شده است. قابلیت *MCD* در تحقیق و مشخصه‌یابی حالت‌های برانگیخته الکترونی به اندازه‌ی است که برای دیگر روش‌های طیف‌سنجی غیر قابل دسترس می‌باشد. بر این اساس در این تحقیق، به مطالعه‌ی گذارهای بلور مگنتو فوتونی یک بعدی، $(\text{TiO}_2/\text{SiO}_2)^6/\text{Bi}:\text{YIG}/(\text{TiO}_2/\text{SiO}_2)^6$ در بازه‌ی ۵۰۰ تا ۷۰۰ نانومتری به روش دورنگی دایروی مغناطیسی پرداخته شده است؛ که منجر به ثبت گذارهای ${}^6A_1({}^6S) \rightarrow {}^4T_2({}^4G)$ ، ${}^6A_1({}^6S) \rightarrow {}^4T_1({}^4G)$ و ${}^6A_1({}^6S) \rightarrow {}^4T_2({}^4G)$ ناشی از گذارهای میدان بلوری در طول موجهای ۵۱۰، ۵۵۰، ۵۸۰، ۶۱۰ و ۶۸۰ نانومتری شده است.

کلیدواژه: طیف‌سنجی، دورنگی دایروی مغناطیسی، گذار میدان بلوری، بلور مگنتوفوتونی.

Quantum Transitions Measuring of One-Dimensional Magnetic Photonic Crystal with Structure $(\text{TiO}_2/\text{SiO}_2)^6/\text{Bi}:\text{YIG}/(\text{TiO}_2/\text{SiO}_2)^6$ By Magnetic Circular Dichroism Method

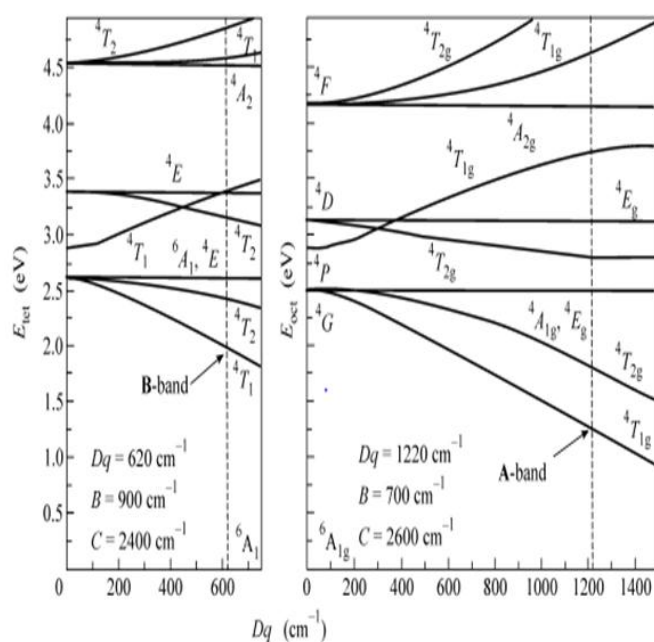
Masoud Heidari¹, Seyedeh Mehri Hamidi¹ and Mohammad Mehdi Tehranchi^{1,2}

¹Laser and Plasma Research Institute, Shahid Beheshti University, Tehran, Iran.

²Physics Department, Shahid Beheshti University, Tehran, Iran

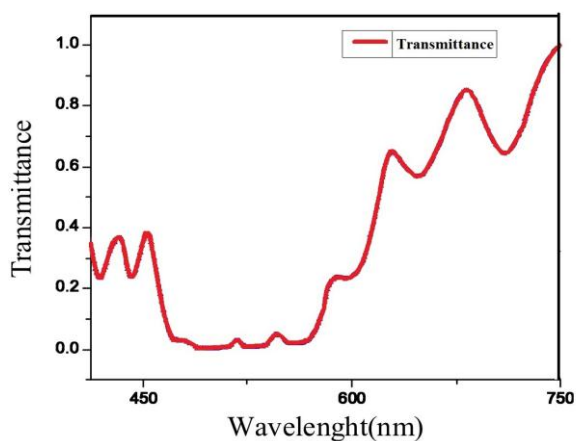
Abstract -Magnetic circular dichroism spectroscopy (MCD) is used in bio and solid magnetic materials. Ability of MCD in research and characterization of excited electronic states is so powerful while other spectroscopic methods are not efficient enough. Therefor in this research the transitions of magnetic photonic crystal with structure $(\text{TiO}_2/\text{SiO}_2)^6/\text{Bi}:\text{YIG}/(\text{TiO}_2/\text{SiO}_2)^6$ has been studied in the range of 500nm to 700nm by MCD. Which leads to recording ${}^6A_1({}^6S) \rightarrow {}^4T_2({}^4G)$, ${}^6A_1({}^6S) \rightarrow {}^4T_1({}^4G)$ and ${}^6A_1({}^6S) \rightarrow {}^4T_2({}^4G)$ transitions duo to field crystal transitions in 510 nm, 550 nm, 580 nm, 610 nm, 680 nm wavelength.

Keyword: spectroscopy, magnetic circular dichroism, crystal field transition, magnetic photonic crystal.



شکل (۳)- محاسبه‌ی میدان بلوری ساختار YIG برای مکان‌های چهار وجهی (چپ) و هشت وجهی (راست)- نمودار تانابه‌سوگانو [۸، ۱۰].

۲/۴ الکترون‌ولت به ترتیب متناظر با گذارهای ${}^6A_1({}^6S) \rightarrow {}^4T_2({}^4G)$ و ${}^6A_1({}^6S) \rightarrow {}^4T_1({}^4G)$ از یون Fe^{+3} در مکان چهاروجهی است [۱۰]. طیف عبوری بلور مگنتوفوتونی برحسب طول‌موج در شکل ۳ نشان داده شده است.



شکل ۳: طیف عبوری بلور مگنتوفوتونی برحسب طول‌موج در بازه‌ی ۴۲۵ تا ۷۵۰ نانومتر

همانطور که به وضوح مشخص است، چهار مد جایگزیده در طول‌موج‌های ۴۷۸، ۵۰۶، ۵۴۹، و ۵۹۶ نانومتر در داخل نوار ممنوعه‌ی فوتونی بین ۴۶۴ و ۵۸۶ نانومتر مشاهده می‌شود [۱۱]. این جایگزیده شدن نور داخل بلور

آن A، C و D کاتیون‌هایی هستند که قادرند مکان‌های شبکه را با مختصات اکسیژن متفاوت اشغال کنند [۵]. ساختار گارنت آهن ایتريوم ($Y_3Fe_5O_{12}$) از دو یون Fe^{+3} در میدان بلور چهاروجهی، سه یون Y^{+3} در میدان بلور دوازده‌وجهی و هشت وجهی و سه یون Fe^{+3} در میدان بلور دوازده‌وجهی تشکیل شده [۶]؛ که اصطلاحاً به قرارگیری چهار لیگاند در اطراف یک عنصر واسطه، میدان بلور چهاروجهی و به همین منوال قرارگیری شش لیگاند، هشت‌وجهی و هشت لیگاند دوازده‌وجهی گفته می‌شود. در ساختار YIG آلاییده شده با بیسموت ($Bi:YIG$)، بیسموت منجر به ایجاد گذار مگنتوآپتیکی جدید نمی‌شود، بلکه تقویت ضریب جذب گذارهای یون‌های گارنت غیرآلاییده شده را به همراه دارد. بنابراین طیف جذب اپتیکی از بلور YIG ناشی می‌شود [۶، ۷]. منشاء جذب در YIG توسط کلگستون^۲، ویکرشیم^۳ و لفرور^۴ بحث شده است. واضح است که دو نوع گذار وجود دارد که در لبه‌ی جذب ظاهر می‌شوند. نوع اول، خط‌های گسسته‌ای است که بعلت گذارهای میدان بلوری از یونهای فلز است که در ناحیه مرئی ظاهر می‌شوند؛ و دومی، بعلت فرایند انتقال بار از لیگاند اکسیژن به یون فلز مرکزی با یک پیک در حوالی ۲/۹ الکترون‌ولت، که شامل جذبه‌های خیلی قوی‌تر است [۸]. به هر حال بنظر می‌رسد که سهم اصلی لبه جذب برای لایه‌های YIG از اولین باند گسسته در حوالی پیک ۱/۳ الکترون‌ولت است که بعلت گذارهای میدان بلوری آهن (Fe^{+3}) در مختصات هشت‌وجهی ایجاد می‌شود. نتایج این پیش بینی با تئوری میدان بلوری که نمودار تانابه‌سوگانو^۵ را بیان می‌کند، مطابقت دارد. در این تئوری داده‌ها و آگاهی‌های لازم برای تفسیر از روی نمودارهای انرژی بدست می‌آید، که در کمپلکس میدان قوی، این نمودارها موسوم به نمودارهای تانابه سوگانو هستند. شکل ۲ نمودار تانابه سوگانو را برای یون Fe^{+3} در مکان چهار وجهی و هشت وجهی بر حسب انرژی روی میدان بلور نشان می‌دهد. باتوجه به نمودار، باند در انرژی ۱.۷۱ الکترون‌ولت مطابق با گذار ${}^6A_1({}^6S) \rightarrow {}^4T_2({}^4G)$ ، یون Fe^{+3} در مکان هشت‌وجهی است [۹]. همچنین باند در انرژی ۲ و

² Clogston

³ Wickersheim

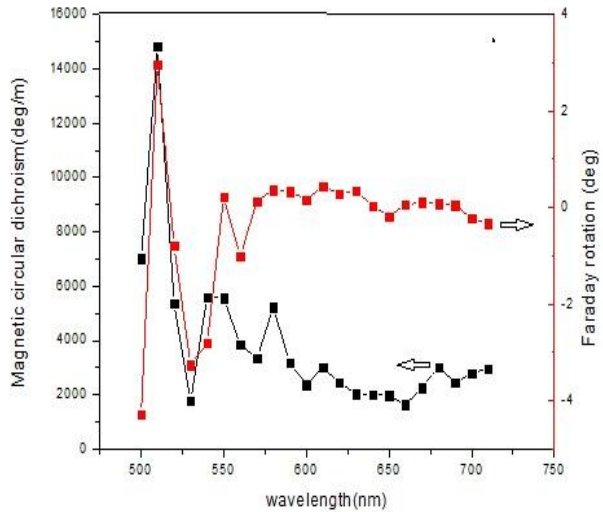
⁴ Lefever

⁵ Tanabe sugano

۵- منابع

۱. Mason, W.R., *Magnetic Circular Dichroism Spectroscopy*. 2007: Wiley.com.
۲. Stephens, P., *Magnetic circular dichroism*. Annual Review of Physical Chemistry, 1974. **25**(1): p. 201-232.
۳. Lindon, J.C., G.E. Tranter, and D. Koppenaal, *ONLINE Encyclopedia of Spectroscopy and Spectrometry: 3 volume set*. 2010: Access Online via Elsevier.
۴. Hamidi, S., M. Tehranchi, and A. Bananej, *Adjustable Faraday rotation by using engineered one-dimensional magneto photonic crystals*. Optical Materials, 2010. **32**(9): p. 1085-1089.
۵. Gilleo, M. and S. Geller, *Magnetic and Crystallographic Properties of Substituted Yttrium-Iron Garnet, $3Y_{2}O_{3} \cdot xM_{2}O_{3} \cdot (5-x)Fe_{2}O_{3}$* . Physical Review, 1958. **110**(1): p. 73.
۶. Wittekoek, S., et al., *Magneto-optic spectra and the dielectric tensor elements of bismuth-substituted iron garnets at photon energies between 2.2-5.2 eV*. Physical review B, 1975. **12**(7): p. 2777.
۷. Zenkov, A. and A. Moskvin, *Bismuth-induced increase of the magneto-optical effects in iron garnets: a theoretical analysis*. Journal of Physics: Condensed Matter, 2002. **14**(28): p. 6957.
۸. Wood, D. and J. Remeika, *Effect of impurities on the optical properties of yttrium iron garnet*. Journal of Applied Physics, 1967. **38**(3): p. 1038-1045.
۹. Scott, G., et al., *Magnetic circular dichroism and Faraday rotation spectra of $Y_{3}Fe_{5}O_{12}$* . Physical Review B, 1975. **12**(7): p. 2562.
۱۰. Gavriuliuk, A.G.e., et al., *Irreversible electronic transition with possible metallization in $Y3Fe5O12$ at high pressure*. Journal of Experimental and Theoretical Physics Letters, 2005. **82**(9): p. 603-608.
۱۱. Hamidi, S., M. Tehranchi, and M. Shasti, *Engineered one-dimensional magneto-photonic crystals for wavelength division multiplexing systems*. Journal of Physics D: Applied Physics, 2011. **44**(20): p. 205107.

مگنتو فوتونی از طریق افزایش شدت به تقویت گذارهای *MCD* کمک می‌کند. منحنی تغییرات دورنگی دایروی مغناطیسی، فارادی طیفی اندازه‌گیری شده بر حسب طول موج در دمای اتاق در شکل ۴ نشان داده شده است.



شکل ۴: طیف دورنگی دایروی مغناطیسی و فارادی طیفی نمونه بلور مگنتوفوتونی در ناحیه‌ی ۵۰۰ تا ۷۰۰ نانومتر

طیف *MCD* تقریباً در طول موجهای ۵۸۰، ۵۵۰، ۵۱۰، ۶۱۰ و ۶۸۰ نانومتر از خود پیک نشان می‌دهد. پیک‌های ۵۱۰ و ۵۵۰ نانومتری ناشی از گذار ${}^6A_1({}^6S) \rightarrow {}^4T_2({}^4G)$ ؛ و پیک‌های ۵۸۰ و ۶۱۰ متناظر با گذار ${}^6A_1({}^6S) \rightarrow {}^4T_1({}^4G)$ است که در محیط چهار وجهی رخ می‌دهد؛ و طول موج ۶۸۰ ناشی از انتقال ${}^6A_1({}^6S) \rightarrow {}^4T_{2g}({}^4G)$ در محیط هشت وجهی است. همچنین از بلور مگنتو فوتونی اندازه‌گیری فارادی طیفی صورت گرفت که تاییدی بر صحت گذارها و طیف *MCD* است.

۴- نتیجه‌گیری

مطالعه‌ی گذارهای بلور مگنتوفوتونی یک بعدی $(TiO_2/SiO_2)^6/Bi:YIG/(TiO_2/SiO_2)^6$ در بازه‌ی ۵۰۰ تا ۷۰۰ نانومتری به روش دورنگی دایروی مغناطیسی، منجر به ثبت گذارهای ${}^6A_1({}^6S) \rightarrow {}^4T_2({}^4G)$ ، ${}^6A_1({}^6S) \rightarrow {}^4T_1({}^4G)$ و ${}^6A_1({}^6S) \rightarrow {}^4T_{2g}({}^4G)$ ناشی از گذارهای میدان بلوری در طول موجهای ۵۱۰، ۵۵۰، ۵۸۰، ۶۱۰ و ۶۸۰ نانومتری شده است.